

2109101 Engineering Materials

ครั้งที่ ๒

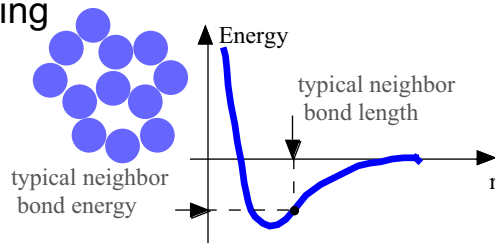
โครงสร้างผลึกของวัสดุ (Crystal Structure)

1

การเรียงตัวของอะตอมในของแข็ง

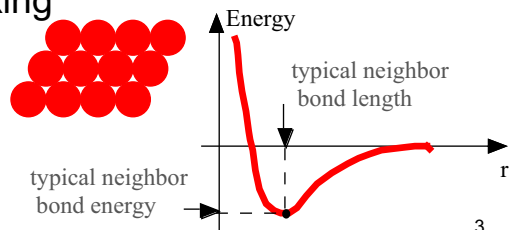
การเรียงตัวแบบ random packing

- เป็นการเรียงตัวที่ไม่แน่นอน
- ไม่เป็นสภาวะที่พลังงานต่ำสุด



การเรียงตัวแบบ regular packing

- เป็นการเรียงตัวที่แน่นอน
- พลังงานต่ำที่สุด



3

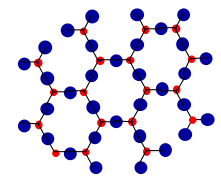
โครงสร้างผลึก (crystal structure)

วัตถุประสงค์การศึกษา

- การจัดเรียงตัวของอะตอมในของแข็ง
- ลักษณะโครงสร้างผลึกของโลหะ
- ผลของการจัดเรียงตัวต่อความหนาแน่นของวัสดุ
- วัสดุผลึกเดี่ยวและวัสดุหลายผลึก (จะกล่าวถึงในบทเรียนครั้งต่อไป)
- ผลของผลึกต่อสมบัติของวัสดุ (จะกล่าวถึงในบทสมบัติทางกล)

2

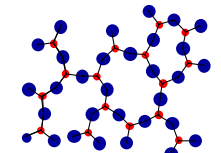
วัสดุที่มีโครงสร้างผลึก คือ วัสดุที่เกิดจากอะตอมที่มีการจัดเรียงตัวอย่างเป็นระเบียบ มีแบบแผนของการเรียงตัวที่แน่นอนใน 3 มิติ พบในโลหะ เซรามิกส่วนใหญ่และพอลิเมอร์บางชนิด



crystalline SiO₂
Adapted from Fig. 3.18(a),
Callister 6e.

• Si • Oxygen

วัสดุที่ไม่มีโครงสร้างผลึก คือ วัสดุที่อะตอมภายในไม่มีการจัดเรียงตัวอย่างมีแบบแผนที่แน่นอน อาจเกิดจากการเย็นตัวอย่างรวดเร็ว บางครั้งเรียกว่า ออสซิลานหรือ amorphous



noncrystalline SiO₂
Adapted from Fig. 3.18(b),
Callister 6e.

4

การเรียงตัวของอะตอมและหน่วยเซลล์

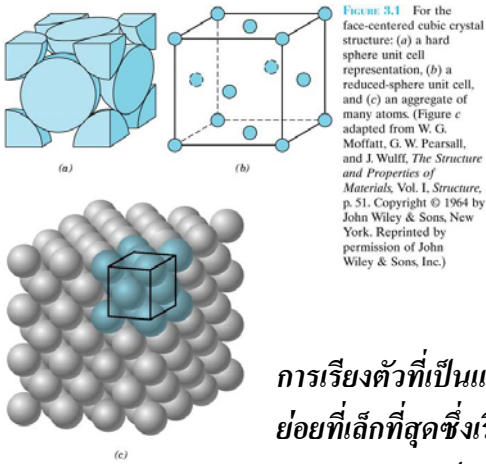


Figure 3.1 For the face-centered cubic crystal structure: (a) a hard sphere unit cell representation, (b) a reduced-sphere unit cell, and (c) an aggregate of many atoms. (Figure c adapted from W. G. Moffatt, G. W. Pearsall, and J. Wulff, *The Structure and Properties of Materials*, Vol. 1, Structure, p. 51. Copyright © 1964 by John Wiley & Sons, New York. Reprinted by permission of John Wiley & Sons, Inc.)

- อะตอมเรียงตัวอย่างเป็นระเบียบ
- รูปล่างสุดแสดงการเรียงตัวของอะตอมเป็นโครงสร้างผลึกโดยให้ทรงกลมเป็นตัวแทนของอะตอม

การเรียงตัวที่เป็นแบบแผนนี้สามารถแบ่งเป็นหน่วยย่อยที่เล็กที่สุดซึ่งเรียงซ้ำๆกัน เรียกว่า หน่วยเซลล์ (unit cell) รูปบนแสดงหน่วยเซลล์ของผลึกในรูปล่าง

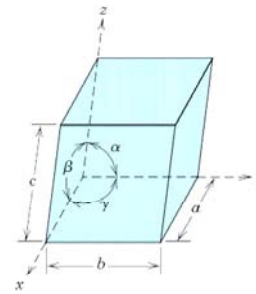
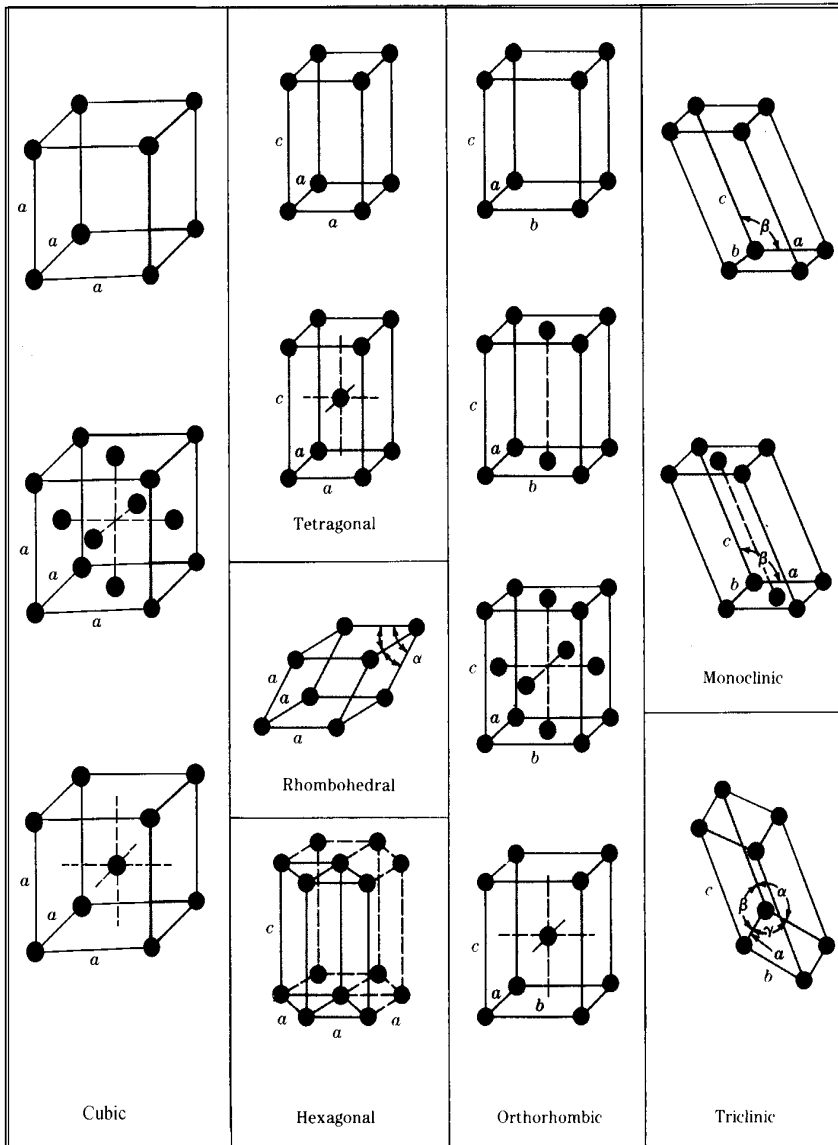


Figure 3.4 A unit cell with x , y , and z coordinate axes, showing axial lengths (a , b , and c) and interaxial angles (α , β , and γ).

Table 3.2 Lattice Parameter Relationships and Figures Showing Unit Cell Geometries for the Seven Crystal Systems

Crystal System	Axial Relationships	Interaxial Angles	Unit Cell Geometry
Cubic	$a = b = c$	$\alpha = \beta = \gamma = 90^\circ$	
Hexagonal	$a = b \neq c$	$\alpha = \beta = 90^\circ, \gamma = 120^\circ$	
Tetragonal	$a = b \neq c$	$\alpha = \beta = \gamma = 90^\circ$	

Rhombohedral	$a = b = c$	$\alpha = \beta = \gamma \neq 90^\circ$	
Orthorhombic	$a \neq b \neq c$	$\alpha = \beta = \gamma = 90^\circ$	
Monoclinic	$a \neq b \neq c$	$\alpha = \gamma = 90^\circ \neq \beta$	
Triclinic	$a \neq b \neq c$	$\alpha \neq \beta \neq \gamma \neq 90^\circ$	



โครงสร้างผลึก ๗ ประเภท

1. Cubic
2. Tetragonal
3. Rhombohedral
4. Hexagonal
5. Orthorhombic
6. Monoclinic
7. Triclinic

สามารถแบ่งย่อยเป็น bravais lattice (บราวเวส์ แลททิส) ได้ ๑๔ ประเภท

Atomic Packing Factor -- อัตราการบรรจุอะตอมต่อหนึ่งหน่วยเซลล์

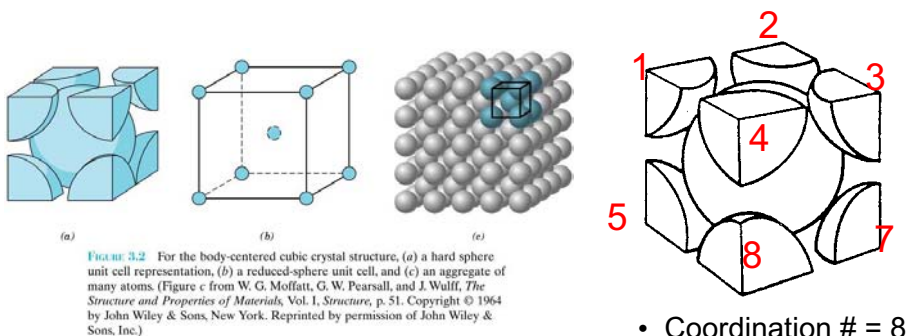
$$APF = \frac{\text{Volume of atoms in unit cell}^*}{\text{Volume of unit cell}}$$

*assume hard spheres

Coordination number จำนวนอะตอมข้างเคียงที่อยู่ติดกับอะตอมที่สนใจ

10

โครงสร้างผลึกแบบบอดีเซ็นเตอร์คิวบิก body-centered cubic, BCC



12

โครงสร้างผลึกของโลหะ -- แนวโน้มที่จะมีความหนาแน่นสูง เนื่องจาก

- มีอะตอมหลักเพียงชนิดเดียวทำให้รัศมีอะตอมเท่ากันหมด
 - พันธะโลหะเป็นพันธะที่ไม่มีทิศทาง
 - เมื่ออะตอมเรียงชิดติดกันให้มีความหนาแน่นสูงทำให้พลังงานมีค่าต่ำ
- การเรียงตัวของอะตอมสำหรับโลหะ ส่วนมากจะเรียงตัวกันอย่างง่าย ซึ่งแตกต่างจากวัสดุพอลิเมอร์และเซรามิกซึ่งจะมีโครงสร้างซับซ้อน

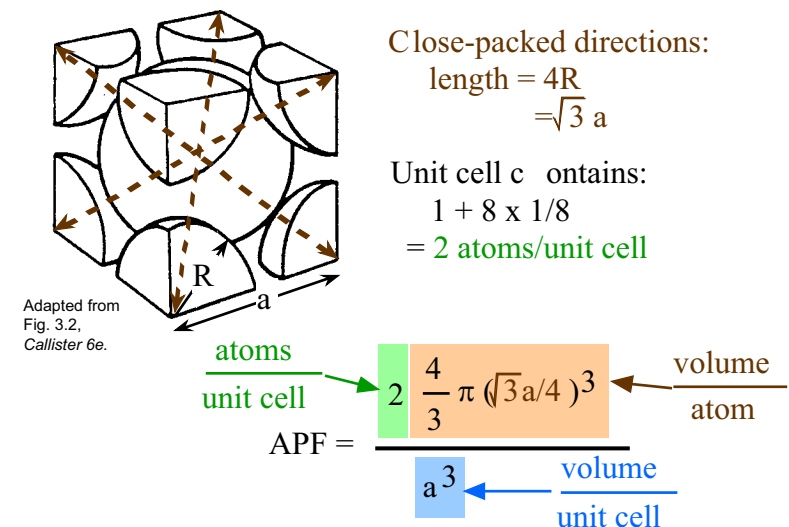
โครงสร้างผลึกอย่างง่ายที่พบมากในโลหะอาจแบ่งออกได้เป็น

- บอดีเซ็นเตอร์คิวบิก body-centered cubic, BCC
- เฟสเซ็นเตอร์คิวบิก face-centered cubic, FCC
- เฮกซะโกนอลโคลสแพก hexagonal close-packed, HCP

11

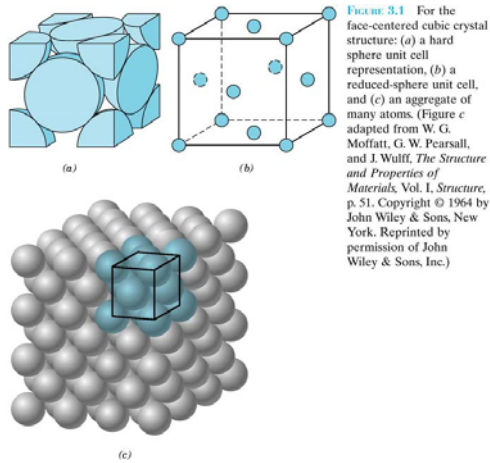
APF: BCC

- APF ของโครงสร้าง body-centered cubic = 0.68

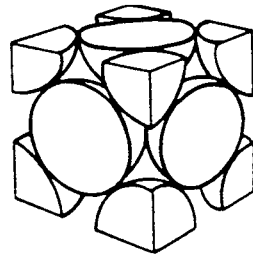


13

โครงสร้างผลึกแบบเฟสเซ็นเตอร์คิวบิก face-centered cubic, FCC



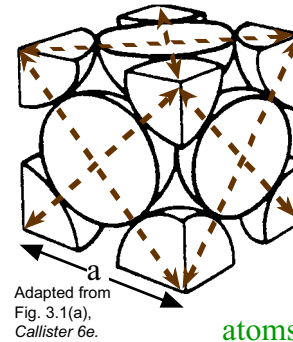
- Coordination # = 12



14

APF: FCC

- APF for a face-centered cubic structure = 0.74



Close-packed directions:

$$\text{length} = 4R = \sqrt{2} a$$

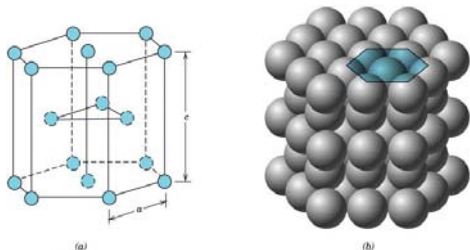
Unit cell contains:

$$6 \times 1/2 + 8 \times 1/8 = 4 \text{ atoms/unit cell}$$

$$\text{APF} = \frac{\text{atoms/unit cell} \times \text{volume/atom}}{\text{volume/unit cell}} = \frac{4 \times \frac{4}{3} \pi \left(\frac{\sqrt{2}a}{4}\right)^3}{a^3}$$

15

โครงสร้างผลึกแบบเฮกซะโกนอลโคลสแพก hexagonal close-packed, HCP



- Coordination # = 12
- APF = 0.74

ระบบผลึกที่พบในโลหะส่วนใหญ่ (90%)

- BCC (Body-Centered Cubic)
เช่น Fe (α), Mo, V, Cr
- FCC (Face-Centered Cubic)
เช่น Fe (γ), Al, Cu, Ag, Au, Ni
- HCP (Hexagonal Close-Packed)
เช่น Zn, Ti (α), Mg, Be

16

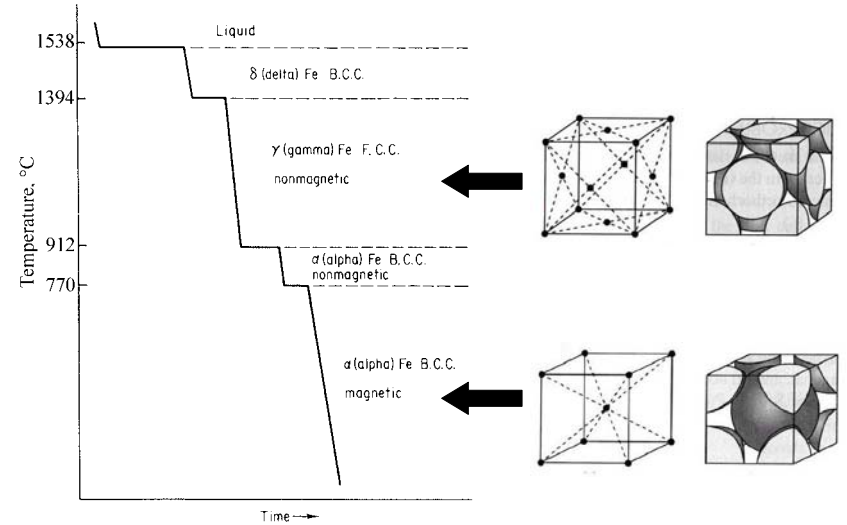
17

สภาพัฒนรูป

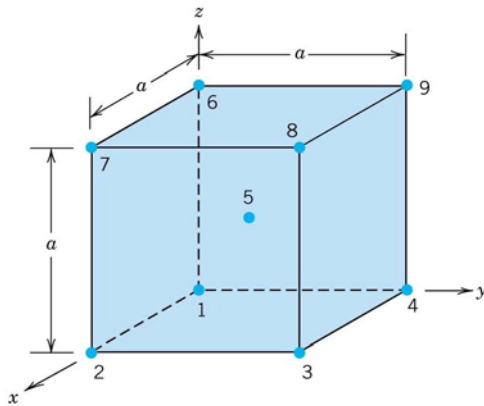
- สภาพัฒนรูป (Polymorphism or Allotropy) คือ สภาพที่โลหะหนึ่ง มีระบบผลึกได้หลายระบบ ขึ้นกับอุณหภูมิ

เช่น

- Ti HCP → BCC 234°C
- Zr HCP → BCC 872°C
- Na BCC → HCP -233°C

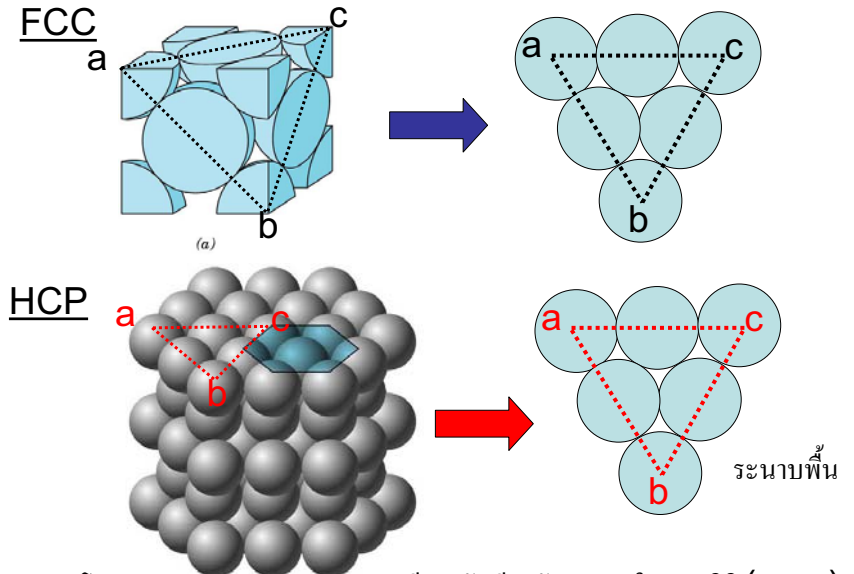


การบอกตำแหน่งในโครงสร้างผลึกที่มีแกนหลัก 3 แกน



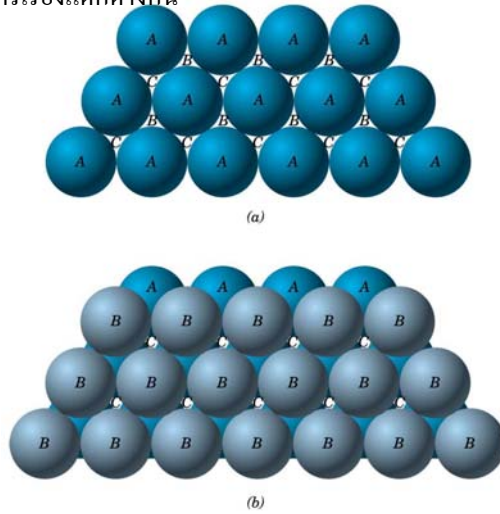
- จุด 1 ตรงกับ $\langle 000 \rangle$
- จุด 2 ตรงกับ $\langle 100 \rangle$
- จุด 3 ตรงกับ $\langle 110 \rangle$
- จุด 4 ตรงกับ $\langle 010 \rangle$
- จุด 5 ตรงกับ $\langle \frac{1}{2} \frac{1}{2} \frac{1}{2} \rangle$
- จุด 6 ตรงกับ $\langle 001 \rangle$
- จุด 7 ตรงกับ $\langle 101 \rangle$
- จุด 8 ตรงกับ $\langle 111 \rangle$
- จุด 9 ตรงกับ $\langle 011 \rangle$

ระนาบโคลสแพก (close packed plane) เกิดในโครงสร้างแบบ FCC และ HCP



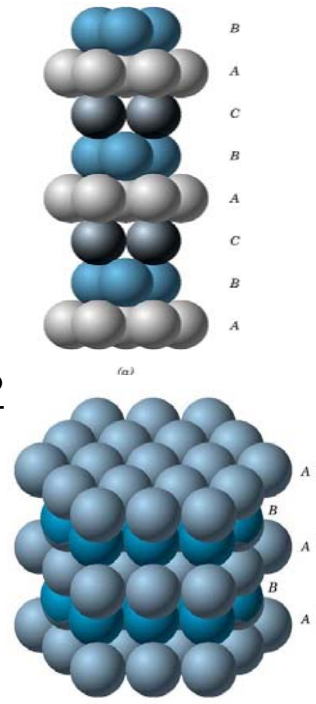
ระนาบโคลสแพกของ FCC และ HCP มีการจัดเรียงตัวอะตอมในสองมิติ (ระนาบ) ที่เหมือนกัน

การเรียงของระนาบโกลด์แพก
เมื่อชั้นแรกเรียงตัวตามตำแหน่ง A ชั้นที่2อาจเรียงตามตำแหน่ง B หรือ C ถ้าชั้นที่2เรียงตามตำแหน่ง B ชั้นที่3อาจเรียงได้ที่ตำแหน่ง A หรือ C ซึ่งจะทำให้การเรียงแตกต่างกัน



FCC

HCP



FCC

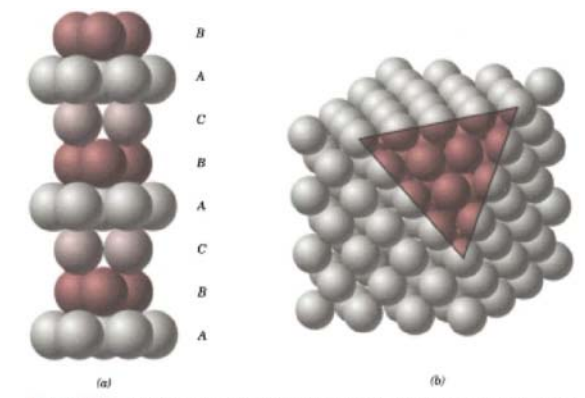


FIGURE 3.29 (a) Close-packed stacking sequence for face-centered cubic. (b) A corner has been removed to show the relation between the stacking of close-packed planes of atoms and the FCC crystal structure; the heavy triangle outlines a (111) plane. (Figure (b) from W. G. Moffatt, G. W. Pearsall, and J. Wulff, *The Structure and Properties of Materials*, Vol. I, Structure, p. 51. Copyright © 1964 by John Wiley & Sons, New York. Reprinted by permission of John Wiley & Sons, Inc.)

HCP

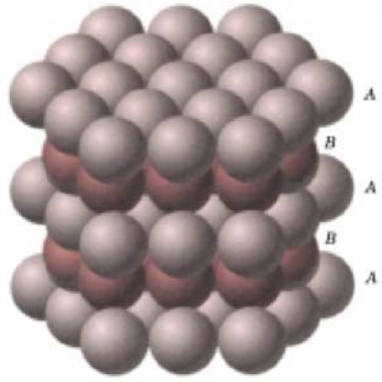


FIGURE 3.28 Close-packed plane stacking sequence for hexagonal close-packed. (Adapted from W. G. Moffatt, G. W. Pearsall and J. Wulff, *The Structure and Properties of Materials*, Vol. I, Structure, p. 51. Copyright © 1964 by John Wiley & Sons, New York. Reprinted by permission of John Wiley & Sons, Inc.)

THEORETICAL DENSITY, ρ

$$\rho = \frac{n A}{V_c N_A}$$

atoms/unit cell $\rightarrow n$ Atomic weight (g/mol) $\rightarrow A$
Volume/unit cell (cm³/unit cell) $\rightarrow V_c$ Avogadro's number $\rightarrow N_A$ (6.023 x 10²³ atoms/mol)

- ตัวอย่าง ทองแดง • โครงสร้างผลึก = FCC: 4 atoms/unit cell
• น้ำหนักอะตอม = 63.55 g/mol (1 amu = 1 g/mol)
• รัศมีอะตอม R = 0.128 nm (1 nm = 10⁻⁷ cm)

$$V_c = a^3 ; \text{ For FCC, } a = 4R/\sqrt{2}; V_c = 4.75 \times 10^{-23} \text{ cm}^3$$

Result: theoretical $\rho_{Cu} = 8.89 \text{ g/cm}^3$
Compare to actual: $\rho_{Cu} = 8.94 \text{ g/cm}^3$